

УДК 539.3.534.231.1

**ВЛИЯНИЕ ОРИЕНТАЦИИ КРАЕВОЙ ТРЕЩИНЫ  
НА ПРОХОЖДЕНИЕ ПОВЕРХНОСТНЫХ ВОЛН**

*И. С. Гузь (Новокузнецк)*

Методом динамической фотоупругости изучено прохождение рэлеевских волн через краевые трещины различной ориентации. Определены коэффициенты прохождения волн и показано формирование напряженного состояния в окрестности вершины трещины при различном ее положении. Показано, что изменение ориентации трещины приводит к изменению не только концентрации напряжений, но и механизма ее формирования. Максимальная концентрация напряжений возникает при расположении трещины под углом  $\alpha = 150^\circ$ , минимальная — при  $\alpha = 90^\circ$ .

Исследования влияния поверхностных волн на развитие краевых трещин расширяют представления о механизме разрушения твердых тел при динамическом нагружении. В работах [1, 2] показано подрастание трещины при выходе рэлеевской волны на ее вершину. В настоящей работе рассматривается влияние ориентации трещины на прохождение рэлеевских импульсов.

Исследования проводились на образцах из полиметилметакрилата с размерами  $400 \times 250 \times 15 \text{ мм}^3$ , на которых легким ударом ножа образовывались трещины произвольной глубины и необходимой ориентации. Получение одинаковых размеров трещин достигалось фрезерованием поверхности образца.

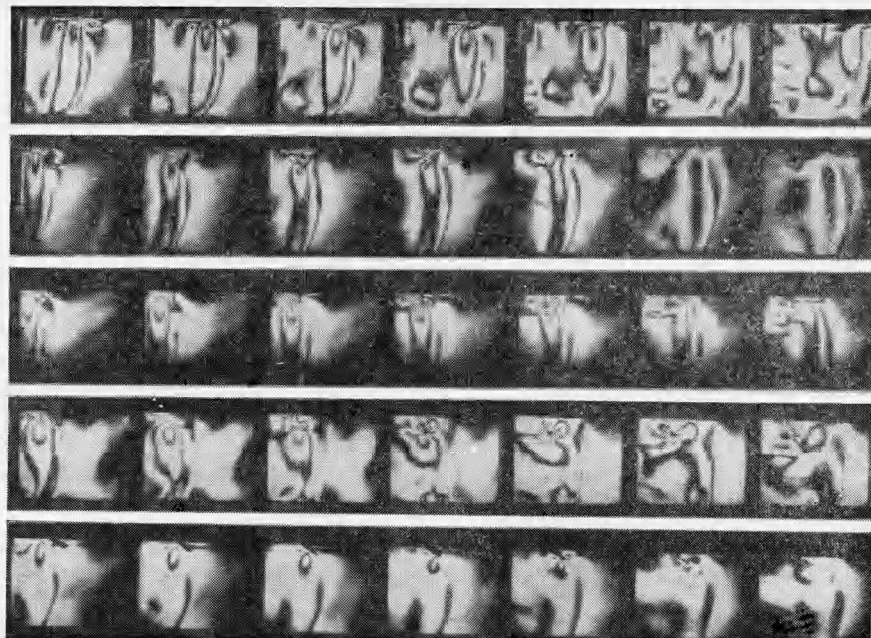
Эксперименты проводились на образцах с длиной трещины 5, 10 и 15 мм. Рэлеевские волны возбуждались точечным микровзрывом на торец образца. Вес микрозаряда 40 мг ТЭНа. Инициирование микровзрыва осуществлялось взрывающейся проволочкой. Через медную проволочку длиной 5 мм и диаметром 0.05 мм производился разряд конденсатора емкостью 2 мкФ, заряженного до 5000 в. Управление взрывом осуществлялось путем пробоя разрядника, включенного последовательно с проволочкой, высоковольтным импульсом с пульта управления камеры СФР-1М. Это обеспечивало полную безопасность при установке микрозаряда. Съемка процесса распространения и взаимодействия волны с трещиной осуществлялась в поляризованном свете. Для поляризации использовался поляризатор с круговой поляризацией, в качестве источника света — импульсная лампа ИСШ-100-3, обеспечивающая вспышку длительностью 300 мксек. Монохроматичность света достигалась с помощью интерференционного светофильтра с  $\lambda = 460 \text{ мкм}$ .

Картина взаимодействия рэлеевских волн с трещиной различной ориентации показана на кинограммах, полученных при скорости киносъемки  $10^6$  кадр./сек (фиг. 1). Изучение их свидетельствует о том, что при прохождении волны через трещину имеют место следующие явления: дифракция волны на двугранных углах и вершине трещины, отражение волны, преобразование поверхностной волны в объемные волны, разделение рэлеевской волны на две поверхностные, следующие друг за другом.

Наблюдаемые явления во многом определяются ориентацией трещины и ее размерами. Если трещина расположена так, что с поверхностью полупространства она составляет угол  $\alpha > 90^\circ$ , то прохождение начинается с дифракции волны на двугранном угле  $\alpha$ . При этом волна частично отражается, а частично проходит на один из берегов трещины. Прощедшая волна, распространяясь к вершине, достигнув ее, дифрагирует, создавая концентрацию напряжений в ее окрестности. Явление дифракции на трещине сопровождается преобразованием поверхностной волны в объемные волны, это отчетливо видно на кинограммах по уходящим вглубь изохромам. После дифракции волны на вершине трещины происходит ее дифракция на двугранном угле, являющимся смежным с углом  $\alpha$ .

Если угол  $\alpha < 90^\circ$ , то описанная выше последовательность прохождения волны нарушается. Вначале вершины трещины достигает основная розетка напряжений, а затем происходит дифракция приповерхностной розетки на двугранном угле  $\alpha$ , вершине трещины и угле  $180^\circ - \alpha$ . Временное разделение между этими процессами определяется углом  $\alpha$  и размером трещины. Это вызывает разделение рэлеевской волны на две поверхностные, следующие друг за другом. Возбуждение первой поверхностной волны обусловлено изменением напряженного состояния в вершине трещины в результате воздействия основного возмущения.

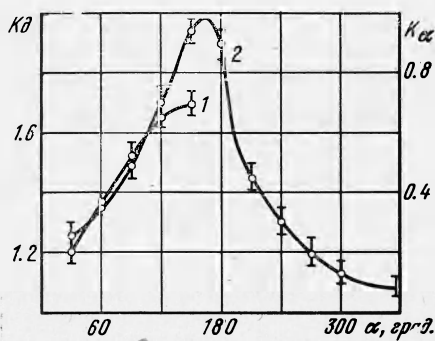
На кинограммах видно влияние ориентации трещины на распределение и величину максимальных касательных напряжений в ее вершине. Они являются ответственными за дальнейшее поведение трещины, поскольку определяют ее величину и траекторию развития. Рост трещины всегда происходит вдоль градиента касательных напряжений. Если  $\alpha = 90^\circ$ , то трещина подрастает под углом  $80^\circ$  к ее первоначальному положению, а при  $\alpha = 150^\circ$  — под углом  $7-8^\circ$ . Изменение параметров падающей волны сопровождается изменением напряженного состояния по величине и влияет лишь на скорость развития трещины.



Фиг. 1

На основании выполненных исследований можно утверждать о наличии корреляции между величиной упругой энергии, запасенной в вершине перед разрушением, и величиной приращения трещины. Установить строгую зависимость между этими параметрами на основании проведенных экспериментов, к сожалению, не удается, поскольку при изменении ориентации трещины существенно изменяется концентрация напряжений в ее вершине, поэтому воздействие волны не всегда вызывает развитие трещины. Следует заметить, что приращение трещины определяется также длительностью воздействия рэлеевской волны. Изменение концентрации напряжений в вершине трещины при изменении ее ориентации показано на фиг. 2: увеличение угла  $\alpha$  от  $30^\circ$  до  $100^\circ$  сопровождается возрастанием динамических напряжений в вершине трещины по линейному закону.

Изменение величины упругой энергии в вершине во времени приведено ниже.



Фиг. 2

$t, \text{ мксек}$	0	4	8	12	16	20	24	28	32	36	40
$E_i, 90^\circ$	0	0.15	0.3	0.48	0.64	0.7	0.64	0.69	0.9	1	0.83
$E_{\max}, 120^\circ$	—	—	0.05	0.2	0.4	0.55	0.7	0.67	—	—	—

Здесь  $E_i$  — запас упругой энергии — определялся по методике [1]. При ориентации трещины под углом  $\alpha = 90^\circ$  наблюдается два экстремума, которые обусловлены дифракцией на трещине соответственно основного и приповерхностного возмущения в рэлеевском импульсе. Этим также объясняется разделение рэлеевской волны на две поверхности. Поля напряжений, соответствующие этим моментам времени, отличаются расположением градиента максимальных касательных напряжений, в результате происходит изменение траектории роста трещины. При некоторых положениях тре-

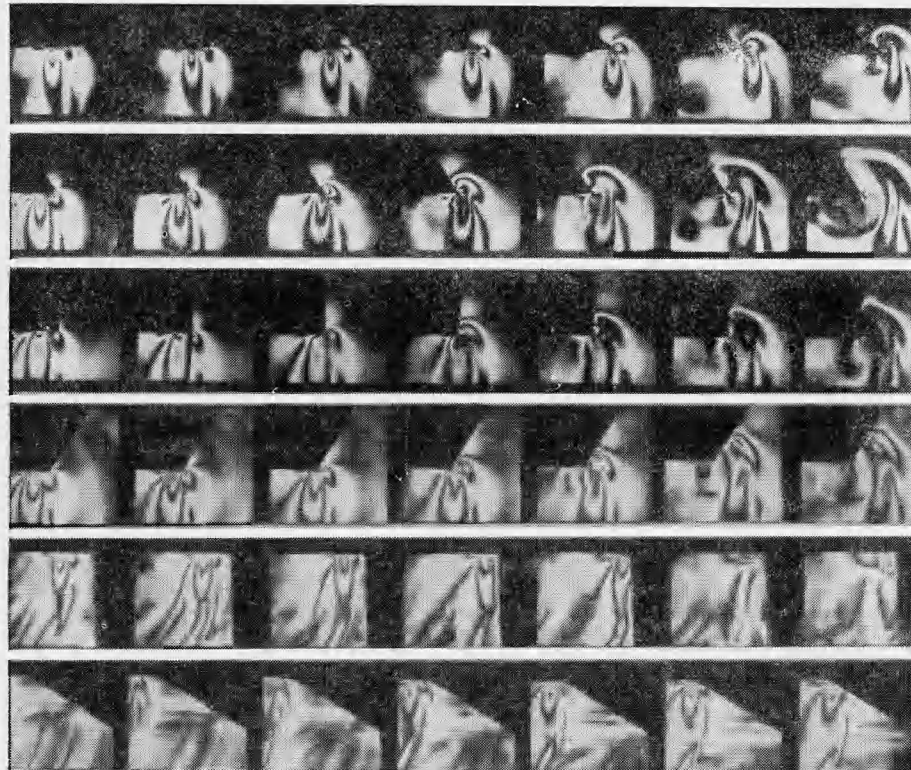
щины эти изменения настолько существенны, что направление развития ее меняется на противоположное. Обработка экспериментальных данных показывает, что не только ориентация, но и размер трещины оказывают влияние на прохождение волны. В таблице даны значения коэффициентов прохождения волны для различных значений  $l/\lambda$  с учетом ориентации трещины.

$\alpha^\circ$	15	30	45	60	75	90	105	120	135	150	165	
$K_{\Pi}$	$l/\lambda=1$	0.98	0.97	0.92	0.88	0.84	0.82	0.83	0.84	0.87	0.92	0.95
	$l/\lambda=2$	0.95	0.8	0.58	0.4	0.32	0.28	0.3	0.28	0.3	0.64	0.85
	$l/\lambda=3$	0.7	0.65	0.4	0.25	0.17	0.13	0.15	0.2	0.33	0.52	0.8
$K_{\Pi}^*$	$l/\lambda=3$	0.71	0.66	0.42	0.27	0.18	0.14	0.17	0.21	0.34	0.54	0.82

$K_{\Pi}^*$  — расчетное значение.

Максимальное прохождение волны наблюдается при расположении трещины под углом  $\alpha = 150$  и  $30^\circ$ , минимальное — при  $\alpha = 90^\circ$ . Возрастание и уменьшение угла  $\alpha$  относительно  $\alpha = 90^\circ$  не являются эквивалентными: прохождение значительно уменьшается при  $\alpha \rightarrow 180^\circ$ . Такая зависимость особенно сказывается при  $l/\lambda > 1$ , где  $l$  — длина трещины,  $\lambda$  — глубина максимума переносимой энергии в рэлеевском импульсе.

Коэффициенты прохождения волны могут быть найдены и другим путем. Считая, что проекция трещины на ось  $z$  как бы делит рэлеевский импульс на две части, одна из которых содержит энергию  $E_z / E_{\Pi}$ , а вторая  $1 - E_z / E_{\Pi}$ , где  $E_{\Pi}$  — полная энергия, запасенная в рэлеевском импульсе, а  $E_z$  — отсекаемая проекцией трещины, можно



Фиг. 3

определить коэффициент прохождения

$$K_{\Pi} = \frac{E_z}{E_{\Pi}} K_{\alpha} K_T K_{180-\alpha} + \frac{E_{zz} - E_z}{E_{\Pi}} K_{180+\alpha} K_{180-\alpha} + \frac{E_{\Pi} - E_{zz}}{E_{\Pi}}$$

Здесь первое слагаемое учитывает пропадшую часть энергии приповерхностного возмущения, второе получено из предположения, что дифрагирует не вся энергия нижней части рэлеевского импульса, а лишь та, которая успевает вовлечься в процесс дифракции, равная  $E_{zz} - E_z$ . Остальная часть (третье слагаемое) проходит, не взаимодействуя с трещиной.

Результаты определения коэффициентов прохождения волны, полученные по такой полуэмпирической зависимости для случая  $l/\lambda = 3$ , представлены в таблице. Наблюдаются удовлетворительное совпадение расчетных и экспериментальных значений  $K_{\Pi}$ .

Для нахождения коэффициентов прохождения волны по приведенной методике необходимо знать коэффициенты прохождения ее через двугранные углы  $K_{\alpha}$  и вершину трещины  $K_T$ . Были проведены дополнительные экспериментальные исследования. На фиг. 3 представлены кинограммы прохождения волны через различные углы (скорость съемки —  $10^6$  кадр./сек), значения коэффициентов показаны на фиг. 2, а для трещины значения  $K_T$  приведены ниже

$l/\lambda$	0.5	1	1.5	2	2.5	3	3.5	4
$K_T$	0.98	0.93	0.85	0.7	0.4	0.15	0.05	0.01

Поступила 17 X 1972

#### ЛИТЕРАТУРА

- Гузь И. С., Финкель В. М., Червов Г. А. Некоторые результаты исследования взаимодействия рэлеевских импульсов с краевыми трещинами. ПМТФ, 1972, № 6.
- Финкель В. М., Гузь И. С. Управление трещинами с помощью упругих волн. Докл. АН СССР, 1972, т. 204, № 5.

УДК 537.523.5

#### ЗОНДОВЫЕ ИЗМЕРЕНИЯ В КАНАЛЕ МАГНИТНОЙ КОЛЬЦЕВОЙ ДУГИ

*А. И. Бугрова, В. С. Версоцкий, М. А. Красненков*

(Москва)

Приведены распределения температуры и концентрации электронов в канале магнитной кольцевой дуги. Измерения выполнены с помощью электрической схемы, разработанной для случая больших зондовых токов.

Магнитная кольцевая дуга описана в работах [1, 2]. Такие дуги находят применение в экспериментальной практике, но происходящие в них явления мало изучены: не исследованы процессы в канале дуги, неизвестны распределения температуры и концентрации электронов вблизи электродов. Эти параметры необходимы для создания физической модели дугового разряда данной геометрии.

В экспериментальной установке дуга горит между полым анодом и катодом. Вольфрамовый анод имел внутренний диаметр 18 мм. Катод выполнен в виде петли из вольфрамового провода диаметром 1.5 мм. Катод расположен в 5 мм от среза анода. Магнитное поле создавалось соленоидом, расположенным соосно с коаксиальными электродами. Рабочий газ подавался через прорези в аноде перпендикулярно к его поверхности в пространство между анодом и катодом, т. е. в канал дуги. Электродная система помещалась в вакуумную камеру, которая откачивалась насосом Н-8Т.

Поджиг дуги осуществлялся предварительным подогревом катода при наличии анодного напряжения. После поджига дуги накал катода отключался и его дальнейший нагрев осуществлялся тепловым потоком из разряда. В исследуемых режимах разряд горел азимутально (по φ) однородно с выносом плазмы за пределы электродной системы.